

一种模拟倾斜折射率界面光波导的新方法^{*}

余和军 夏金松 余金中

(中国科学院半导体研究所集成光电子学国家重点联合实验室,北京 100083)

(2005 年 7 月 1 日收到 2005 年 8 月 1 日收到修改稿)

针对传统离散格式下,束传播方法(BPM)模拟倾斜折射率界面出现的问题,提出了一种简明且易于编程实现的改进方案.在横向上,通过坐标系变换和插值处理,以新颖的 7 点差分格式代替传统的 5 点差分方式;在纵向上,以四阶显式 Runge-Kutta 方法(RKBPM)代替二阶 Crank-Nicholson 算法(CNBPM),避免了求解不规则矩阵方程,从而使计算效率显著提高.

关键词:束传播方法, Runge-Kutta 方法, 光波导, 脊形波导

PACC: 0340K, 4280L, 8760F

1. 引 言

在各种模拟光波导器件的数值方法中^[1-4],有限差分束传播方法(FD-BPM)是相对简单有效的一种,因而在集成光学中得到了广泛应用.但是,大多数 BPM 的离散格式都只是针对垂直或平行于坐标系的折射率界面.当折射率界面相对坐标轴倾斜时,普通离散格式等效的阶梯状折射率界面和真实界面完全不同,即不能准确表述实际波导边界,因此在解模时计算精度降低甚至会出现数值发散.

针对这个问题,文献[5,6]给出了改进表达式,但都不能从根本上解决问题;文献[7]采用类似于有限时域差分(FDTD)的 Yee 元胞离散方式.这种方法本质上属于 FDTD 算法的范畴,不能用于常规 BPM 算法中;Chiang 等人提出的方法^[8]虽然功能强大,但需在每个界面点处求解一个 18×18 复矩阵的逆,计算效率因此下降约 20%;为此,本文提出一种改进的 BPM 算法,并通过计算实例证明了该方法的高效性与可靠性.

2. 理论推导

2.1. 横向离散:七点差分格式

如图 1 所示,假定倾斜界面左、右两边介质的折

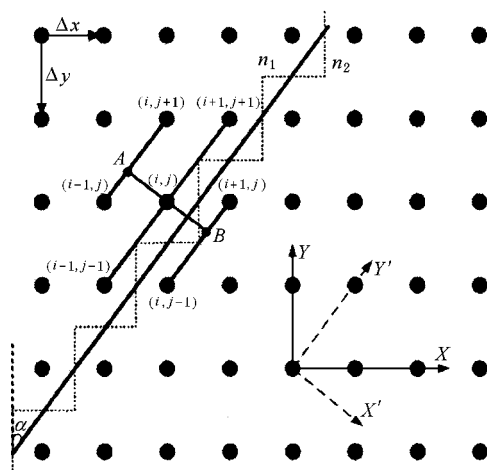


图 1 倾斜折射率界面的 7 点差分格式示意图

射率分别为 n_1 和 n_2 , 整数对 (i, j) 表示离散点在计算窗口中的位置. 根据图 1 所示几何关系, 可以设定 X 方向和 Y 方向的离散步长 Δx 和 Δy 满足关系

$$\Delta x = \Delta y \tan(\alpha). \quad (1)$$

在传统的差分格式中,某点 (i, j) 的场量可由其上 $(i, j+1)$ 下 $(i, j-1)$ 左 $(i-1, j)$ 右 $(i+1, j)$ 四点的场值表示,其等效的折射率界面如图 1 中阶梯状的虚线所示,该界面与实际界面有很大差别,是造成图 2 所示解模时数值发散的主要原因.为此,新提出的差分格式额外引入了对角点 $(i-1, j-1)$ 和 $(i+1, j+1)$,同时,基于倾斜的折射率界面建立新坐标系 $X'Y'$,则新旧坐标系下剖分网格的大小具有

^{*} 国家高技术研究发展计划(批准号:2002AA312060),国家重点基础研究发展计划(批准号:G20000366)资助的课题.

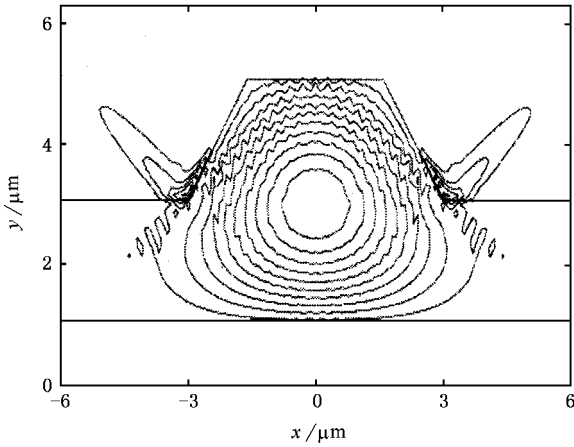


图 2 传统离散格式模拟梯形截面波导数值发散的情况

如下关系：

$$(\Delta y')^2 = \Delta x^2 + \Delta y^2, \quad (2)$$

$$\Delta x' \Delta y' = \Delta x \Delta y. \quad (3)$$

对 TE 模,其二阶偏微分在不同的坐标系下分别表示为

$$\nabla^2 E_x = \frac{\partial^2 E_x}{\partial x^2} + \frac{\partial^2 E_x}{\partial y^2} = \frac{\partial E_x}{\partial x'^2} + \frac{\partial^2 E_x}{\partial y'^2}. \quad (4)$$

对上式右侧两项进行离散,离散时 A, B 两点的电场值分别用其斜上、下两个点的电场进行插值,并利用(2)(3)两式给出的坐标关系,最终推导出^[9]

$$\begin{aligned} \nabla^2 E_x = & aE_x(i-1, j-1) + bE_x(i-1, j) \\ & + cE_x(i, j-1) + dE_x(i, j) + eE_x(i, j+1) \\ & + fE_x(i+1, j) + gE_x(i+1, j+1), \quad (5) \end{aligned}$$

式中各项系数分别为

$$a = \frac{1}{(\Delta x')^2 + (\Delta y')^2},$$

$$b = \frac{1}{(\Delta y')^2} \left(\frac{n_1^2 \sin^2 \alpha + n_2^2 \cos^2 \alpha + n_2^2}{n_1^2 + n_2^2} \right),$$

$$c = \frac{1}{(\Delta x')^2},$$

$$\begin{aligned} d = & \frac{-2}{(\Delta x')^2 + (\Delta y')^2} - \frac{(\Delta x')^2 + (\Delta y')^2}{(\Delta x \Delta y)^2} \\ & \times \left(\frac{2n_1^2 + n_2^2 + n_1^2 \cos^2 \alpha + n_2^2 \sin^2 \alpha}{n_1^2 + n_2^2} \right), \end{aligned}$$

$$e = \frac{1}{(\Delta x')^2} \left(\frac{n_1^2 \sin^2 \alpha + n_2^2 \cos^2 \alpha + n_2^2}{n_1^2 + n_2^2} \right),$$

$$f = \frac{1}{(\Delta y')^2},$$

$$g = \frac{1}{(\Delta x')^2 + (\Delta y')^2}.$$

(5)式表达 7 点差分格式描述的折射率界面与实际界面完全符合,从而解决了传统差分格式模拟非四方波导时出现的数值发散等问题.

2.2. 纵向离散 四阶 Rung-Kutta 算法

传统 BPM 在纵向上采用二阶精度的 CN 离散格式^[10]把连续的光传输方程转化为规则的线性方程组,然后用高效的交替方向法(ADI)^[3]求解.但在新的 7 点差分格式下,采用 CN 格式得到的线性方程组系数不再是块状三对角矩阵,需采用迭代法求解,这将在一定程度上降低计算效率.因此,在纵向上进行算法改进将有助于提高计算效率.

Runge-Kutta 方法是求解常微分方程的常用数值算法^[11],它间接使用 Taylor 展开式构造各阶精度的隐式、半隐式或显式表达式,但最常见的是四阶显格式.比如,对常微分方程

$$\frac{dy}{dx} = f(x, y), f(x_0) = y_0, \quad (6)$$

采用经典四级四阶显式 Runge-Kutta 算法的求解公式为^[11]

$$\begin{aligned} y_{n+1} = & y_n + h(R_1 + 2R_2 + 2R_3 + R_4)(6 + \alpha h^4), \\ R_1 = & f(x_n, y_n), \\ R_2 = & f(x_n + h/2, y_n + hR_1/2), \\ R_3 = & f(x_n + h/2, y_n + hR_2/2), \\ R_4 = & f(x_n + h, y_n + hR_3). \quad (7) \end{aligned}$$

本文将根据上式构造光电场的纵向离散格式,这与文献[12]实际上是异曲同工的,因为后者把电场的二阶微分项直接用 Taylor 公式展开到 αx^4 ,从而提高计算精度.作为一种间接的 Taylor 展开方法, RK 方法可以达到相同的精度且意义更为明显,计算效率也更高,这正是新 7 点格式下以 RKBP 取代 CNBP 的依据.

对于傍轴传输和缓变包络近似下的半矢量 BPM 方程(标量和全矢量方程的推导同理)

$$\begin{aligned} \frac{\partial}{\partial z} \begin{pmatrix} \tilde{E}_x \\ \tilde{E}_y \end{pmatrix} = & \frac{-j}{2n_0 k_0} \begin{pmatrix} P_{xx} & 0 \\ 0 & P_{yy} \end{pmatrix} \begin{pmatrix} \tilde{E}_x \\ \tilde{E}_y \end{pmatrix}, \\ P_{xx} \tilde{E}_x = & \frac{\partial}{\partial x} \left(\frac{1}{n^2} \frac{\partial}{\partial x} (n^2 \tilde{E}_x) \right) \\ & + \frac{\partial^2}{\partial y^2} \tilde{E}_x + (n^2 - n_0^2) k_0^2 \tilde{E}_x, \\ P_{yy} \tilde{E}_y = & \frac{\partial}{\partial y} \left(\frac{1}{n^2} \frac{\partial}{\partial y} (n^2 \tilde{E}_y) \right) \\ & + \frac{\partial^2}{\partial x^2} \tilde{E}_y + (n^2 - n_0^2) k_0^2 \tilde{E}_y. \quad (8) \end{aligned}$$

根据 Runge-Kutta 算法思想,光传播方向上第 k 步的光电场 $\Phi(i, j, k)$ 和 $k+1$ 步的光电场 $\Phi(i, j, k+1)$ 满足如下关系:

$$\Phi(i, j, k+1) = \Phi(i, j, k) + \frac{1}{6} [R_1(i, j, k) + 2R_2(i, j, k) + 2R_3(i, j, k) + R_4(i, j, k)], \quad (9)$$

$$R_1(i, j, k) = \frac{\Delta z}{2jn_0k_0} \left\{ a\Phi(i-1, j-1, k) + b\Phi(i-1, j, k) + c\Phi(i, j-1, k) + d\Phi(i, j, k) + e\Phi(i, j+1, k) + f\Phi(i+1, j, k) + g\Phi(i+1, j+1, k) + [n^2(i, j, k) - n_0^2]k_0^2\Phi(i, j, k) \right\}, \quad (10)$$

$$R_2(i, j, k) = \frac{\Delta z}{2jn_0k_0} \left\{ a[\Phi(i-1, j-1, k) + \frac{1}{2}R_1(i-1, j-1, k)] + b[\Phi(i-1, j, k) + \frac{1}{2}R_1(i-1, j, k)] + c[\Phi(i, j-1, k) + \frac{1}{2}R_1(i, j-1, k)] + d[\Phi(i, j, k) + \frac{1}{2}R_1(i, j, k)] + e[\Phi(i, j+1, k) + \frac{1}{2}R_1(i, j+1, k)] + f[\Phi(i+1, j, k) + \frac{1}{2}R_1(i+1, j, k)] + g[\Phi(i+1, j+1, k) + \frac{1}{2}R_1(i+1, j+1, k)] + [n^2(i, j, k) - n_0^2]k_0^2[\Phi(i, j, k) + \frac{1}{2}R_1(i, j, k)] \right\}, \quad (11)$$

$$R_3(i, j, k) = \frac{\Delta z}{2jn_0k_0} \left\{ a[\Phi(i-1, j-1, k) + \frac{1}{2}R_2(i-1, j-1, k)] + b[\Phi(i-1, j, k) + \frac{1}{2}R_2(i-1, j, k)] + c[\Phi(i, j-1, k) + \frac{1}{2}R_2(i, j-1, k)] + d[\Phi(i, j, k) + \frac{1}{2}R_2(i, j, k)] + e[\Phi(i, j+1, k) + \frac{1}{2}R_2(i, j+1, k)] + f[\Phi(i+1, j, k) + \frac{1}{2}R_2(i+1, j, k)] + g[\Phi(i+1, j+1, k) + \frac{1}{2}R_2(i+1, j+1, k)] + [n^2(i, j, k) - n_0^2]k_0^2[\Phi(i, j, k) + \frac{1}{2}R_2(i, j, k)] \right\}, \quad (12)$$

$$R_4(i, j, k) = \frac{\Delta z}{2jn_0k_0} \left\{ a[\Phi(i-1, j-1, k) + R_3(i-1, j-1, k)] + b[\Phi(i-1, j, k) + R_3(i-1, j, k)] + c[\Phi(i, j-1, k) + R_3(i, j-1, k)] + d[\Phi(i, j, k) + R_3(i, j, k)] + e[\Phi(i, j+1, k) + R_3(i, j+1, k)] + f[\Phi(i+1, j, k) + R_3(i+1, j, k)] + g[\Phi(i+1, j+1, k) + R_3(i+1, j+1, k)] + [n^2(i, j, k) - n_0^2]k_0^2[\Phi(i, j, k) + R_3(i, j, k)] \right\}. \quad (13)$$

(9)–(13)式给出了 Runge-Kutta 差分格式的 BPM 方程. 显而易见,这种方法避免了求解运算量很大的不规则矩阵方程,能够达到四阶精度且易于编程实现. 在计算窗口的边界,可以采用简单实用的完全透明边界条件^[13]以减小波反射引起的数值误差.

3. 结果和讨论

由于梯形截面光波导的模式参数无解析解,为了验证 RKBPM 计算的精确性,首先求解了具有解析解的长直平板波导的模式,求解时完整的计算流程如图 3 所示,该流程也适用于在 7 点差分格式下

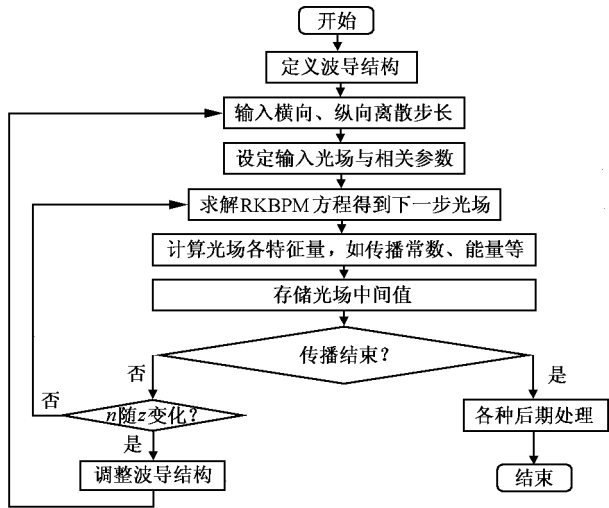


图3 采用 RKBPM 进行光波导分析的流程图

求解各种非四方截面波导的模式。取平板波导的高度、芯层折射率、上、下包层折射率和工作波长分别为 $2.2, 1.6, 2.15$ 和 $1.55 \mu\text{m}$ 。图4给出了相同的横向离散步长下, RKBPM 与 CNBPM 模拟 TE_0 模(电场位于平板平面内)传输 1cm 时能量损耗的计算误差。(a)图为计算误差与传输方向计算步长的依赖关系。由于 RKBPM 为四阶精度, 而 CNBPM 仅为二阶精度, 随着离散步长的加大, 前者的计算误差基本不变且保持在趋于零的较低水平, 但后者的误差急剧提高, 当离散步长大于 $0.1 \mu\text{m}$ 时, 能量损耗的计算误差已经超过 10% 。(b)图为传输损耗的计算误差和波导长度的函数关系, 取计算步长为 $0.05 \mu\text{m}$ 。同样由于精度提高, RKBPM 的计算误差基本不受波导长度的影响, 但 CNBPM 的误差则几乎与波导长度成线性递

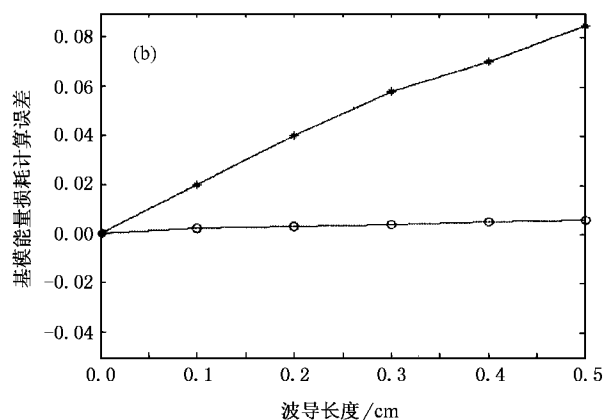
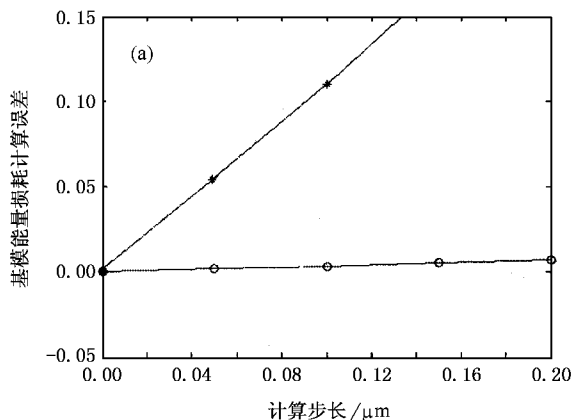


图4 RKBPM(○ ○ ○)和 CNBPM(* * *)计算平板波导能量损耗的误差比较 (a)数值误差与传输方向离散步长的关系 (b)数值误差与波导长度的依赖关系

增关系。当波导长度达到 0.5cm 时, 计算误差大于 8% 。因此, CNBPM 可以选择的离散步长区间很小, 而且, 当波导长度达到厘米量级时, 计算误差将十分显著。

在此基础上, 用 7 点差分格式结合 RKBPM 求解了梯形横截面波导的模场分布。为便于比较, 所选参数与文献[9]相同, 波导内、外脊高分别为 $4 \mu\text{m}$ 和 $2 \mu\text{m}$, 内脊宽 $3 \mu\text{m}$, $n_1 = 3.5$, $n_2 = n_3 = 1.5$, 截面倾斜角 $\alpha = 35.3^\circ$ 。图5给出的是输入高斯光束传播 3mm 后的准 TE 和准 TM 模。可见, 波导边界处的光场并未扭曲变形, 表明新方法有效避免了数值发散, 求出模有效折射率分别为 3.49232 和 3.49185 , 文献[9]的计算结果分别为 3.49230 和 3.49188 。但采用相同的个人计算机(CPU P42.26GHz, 内存 512MB)和相同计算步长($\Delta x = 0.01 \mu\text{m}$, $\Delta y = 0.0173 \mu\text{m}$, $\Delta z = 0.05 \mu\text{m}$), 本文方法与文献[9]相比, 计算时间由 110.8s 降低到 74.1s , 计算速度明显提高。

为了进一步说明 RKBPM 的高效性, 采用相同的 7 点离散参数, 比较了 RKBPM 和 CNBPM 求解上述梯形波导的计算时间。如图6所示, 随着波导长度的增加, 二者的计算时间都接近于线性递增, 但 CNBPM 的计算时间增加得更快。这是因为, CNBPM 最终把光传输方程转化为一个矩阵方程, 其系数矩阵由离散点的折射率构成, 但 7 点格式下生成的折射率系数矩阵是不规则的, 由于求解大规模、不规则的矩阵方程需要消耗大量的计算机资源, 从而降低了计算效率。在 RKBPM 中, 每一步的光电场由前一步的光电场与四个增量值(由光传输方程确定)的线性组合求和得出, 这种直接的、线性的计算过程对计

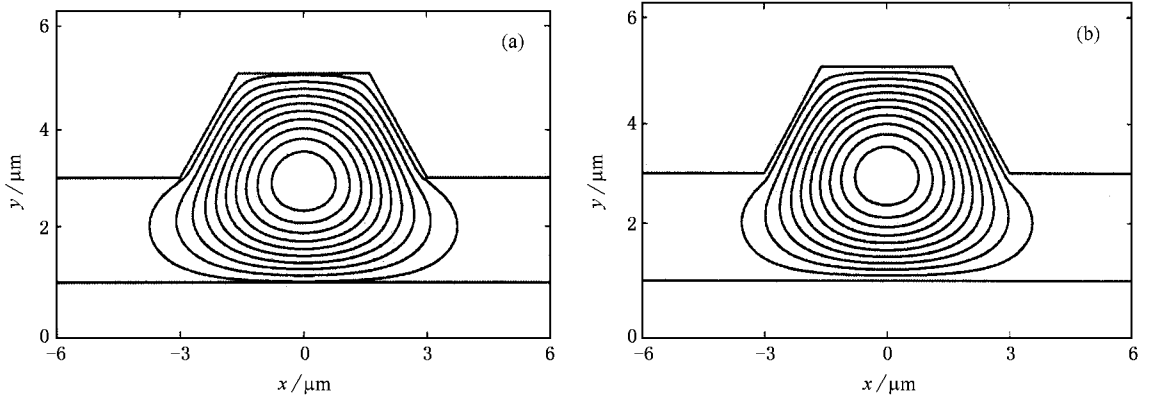


图 5 梯形截面光波导基横模分布的等高线图 (a)准 TE 模 (b)准 TM 模

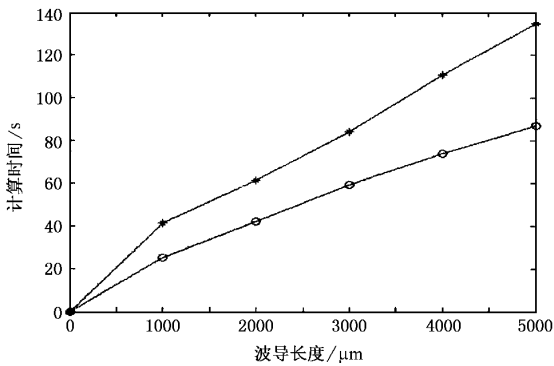


图 6 横向采用 7 点差分格式,纵向分别用 RKBPM (○ ○ ○)和 CNBPM (* * *) 的计算时间比较

计算机资源的要求低得多. 因此,在较为复杂的光子器件模拟中,无论从计算精度还是从计算效率角度考虑,RKBPM 的优势都是显而易见的.

此外,还求解了正三角形横截面波导中的模式特性. 取波导芯层和外包层折射率分别为 3.5 和 1.5,波导横截面边长为 $6\mu\text{m}$,图 7 示出了准 TE 模和准 TM 模的基模场分布,求出折射率分别为 3.48801 和 3.48788,计算时间由文献[9]的 198.7s 降低到 125.4s.

需要说明的是 (9)~(13) 式给出的 RKBPM 为显式格式,其稳定性不如 CNBPM. 但是,当出现计算不稳定的情况时,可以采用隐式和半隐式的 RKBPM^[11]克服该问题. 与显格式相比,级数为 s 的隐格式可以获得 $2s$ 阶的计算精度,缺点是需要求解非线性方程;半隐式格式既能保持隐格式的稳定性的,又不需要求解非线性方程,但算法相对复杂. 根据不同情况,灵活采用不同格式的 RKBPM 能进一步扩大该算法的应用范围,突显其实用性.

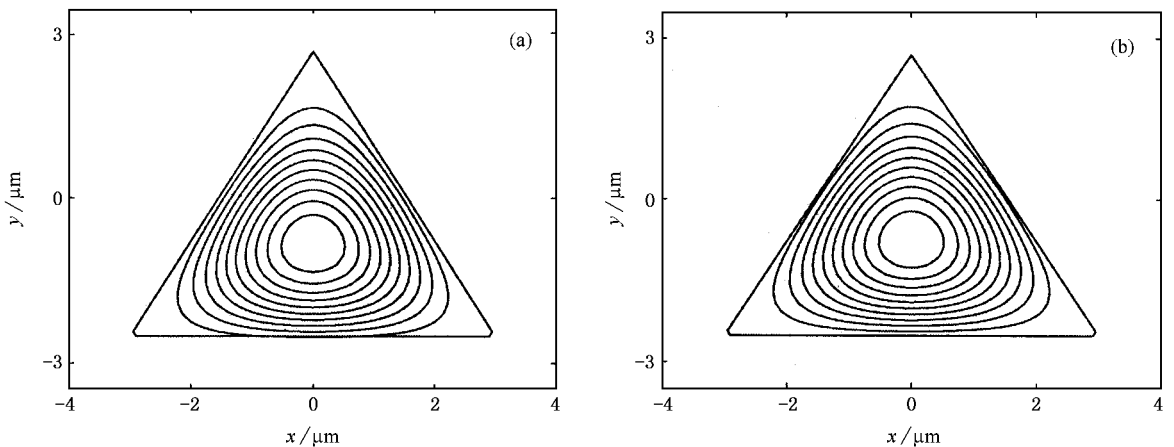


图 7 横截面为正三角形的光波导的基横模分布 (a)准 TE 模 (b)准 TM 模

4. 结 论

传统 5 点差分格式不能精确定义倾斜的折射率界面,因此在波导解模时容易出现数值发散.为此,

本文对常规 BPM 进行了改进,得到 7 点差分格式下的 RKBPM 算法,并通过计算实例证明了新方法的可靠性与高效性,从而可广泛用于各种非四方横截面光波导的模拟.

- [1] Kim C M , Ramaswamy R V 1989 *J. Lightwave Technol.* **7** 1581
- [2] Yee K S 1996 *IEEE Trans. Antennas Propagat.* **4** 302
- [3] Yoneta S , Koshiha M , Tsuji Y 1999 *J. Lightwave Technol.* **11** 2398
- [4] Hsueh Y L , Yang M C , Chang H C 1999 *J. Lightwave Technol.* **17** 2389
- [5] Xia J S , Yu J Z 2003 *Acta Phys. Sin.* **52** 515 (in Chinese) [夏金松、余金中 2003 物理学报 **52** 515]
- [6] Yamauchi J , Sekiguchi M , Takahashi G *et al* 1998 *IEEE Photonics Technology Letter* **10** 1127
- [7] Ando T , Nakayama H , Numata S *et al* 2002 *J. Lightwave Technol.* **20** 1627
- [8] Chiang Y C , Chiou Y P , Chang H C 2002 *J. Lightwave Technol.* **20** 1609
- [9] Xia J S , Yu J Z 2003 *IEEE Photonics Technology Letters* **15** 1237
- [10] Chung Y , Dagli N 1990 *IEEE J. Quantum Electron.* **26** 1335
- [11] Yu D H , Tang H Z 2003 *Numerical Methods for Differential Equations* (Beijing : Science Press) (in Chinese) [余德浩、汤华中 2003 微分方程数值解法 (北京 : 科学出版社)]
- [12] Vassallo C 1992 *Proc. Inst. Elect. Eng.* **139** 137
- [13] Hadley G R 1992 *IEEE Quantum Electron* **28** 363

A highly efficient beam propagation method for modeling step-index waveguides with tilt interface^{*}

Yu He-Jun Xia Jin-Song Yu Jin-Zhong

(State Key Laboratory on Integrated Optoelectronics , Institute of Semiconductors , Chinese Academy of Sciences , Beijing 100083 , China)

(Received 1 July 2005 ; revised manuscript received 1 August 2005)

Abstract

Based on a new finite-difference scheme and Runge-Kutta method together with transparent boundary conditions (TBCs) , a novel beam propagation method to model step-index waveguides with tilt interfaces is presented. The modified scheme provides an precies description of the tilt interface of the nonrectangular waveguide structure , showing a much better efficiency and accuracy comparing with the previously presented formulas.

Keywords : BPM , Runge-Kutta method , optical waveguide , rib waveguide

PACC : 0340K , 4280L , 8760F

* Project supported by the National High Technology Development Program of China (Grant No. 2002AA312060) and by the State Key Development Program for Basic Research of China (Grant No. G20000366).